

X線形態分類に基づく銀河団磁場の性質

小澤武揚¹、中西裕之¹、安楽健太¹、赤堀卓也²、小野寺幸子³、津田裕也³

1. 鹿児島大学 2. シドニー大学 3. 明星大学

概要

背景: 銀河団は銀河団同士の衝突により成長していると考えられており、衝突の際IntraCluster Medium(ICM)内での乱流の発生が示唆されている。Ryu et al. (2008)によるLarge Scale Structure (LSS)形成シミュレーションにおいて乱流による磁場の増幅が示されたことから、銀河団の進化と磁場の成長には何らかの関係があると考えられる。

目的: 銀河団はX線によりIrregular、Regular、Cool-Coreの3形態に分類できる。X線による形態分類は銀河団の進化状態を反映している可能性があり、各形態ごとに磁場の性質に違いが見られることが期待される。本講演ではX線形態分類ごとの銀河団の磁場強度を比較する。

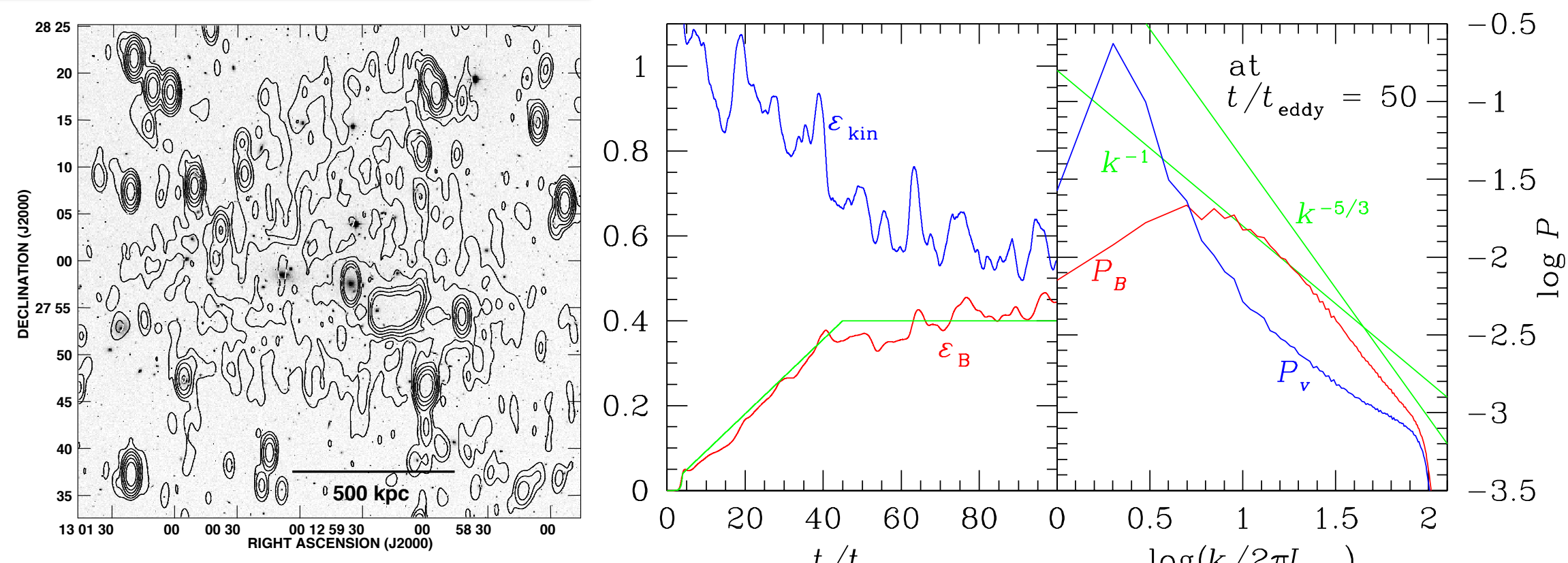
方法: VLA archiveと新たに観測されたEVLAの偏波データからX線形態分類ごとに銀河団のRotation Measure (RM)を求める。求めたRMの分散から磁場強度を求める。

結果: 銀河団Abell 401A(以下AbellはAと略す)、A401B、A2142、A2199、A2256のRM mapを作成した。得られたRMの分散から、各銀河団で2~5uGの磁場強度を得た。

結論: IrregularはRegular、Cool-Coreよりも磁場強度が小さいようである。しかしサンプルが少ないため統計的に議論できない。

1. 亂流による磁場の増幅

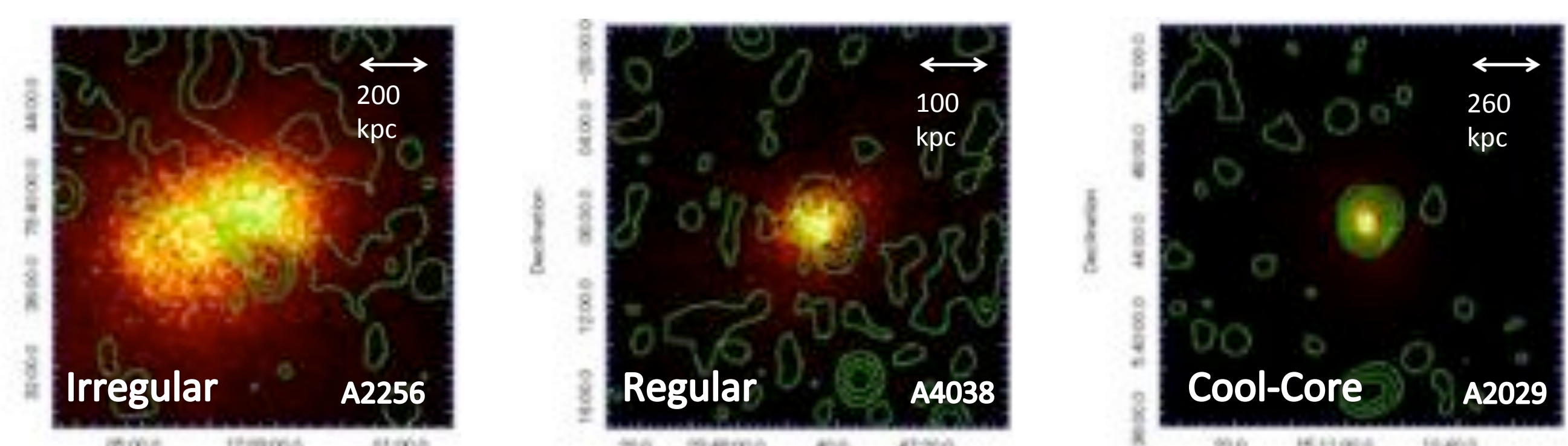
銀河団衝突に伴う乱流で磁場は増幅されている?



左:Coma Clusterで観測されたシンクロトロン放射。銀河団磁場の存在が示唆される(Feretti et al. 2012)。中央:MHDシミュレーションによる乱流の運動エネルギーと磁場のエネルギーの時間進化。右:磁場 P_B と流速 P_v のパワースペクトル(Ryu et al. 2008)。

2. X線形態分類

X線形態分類は銀河団の進化状態を表している?

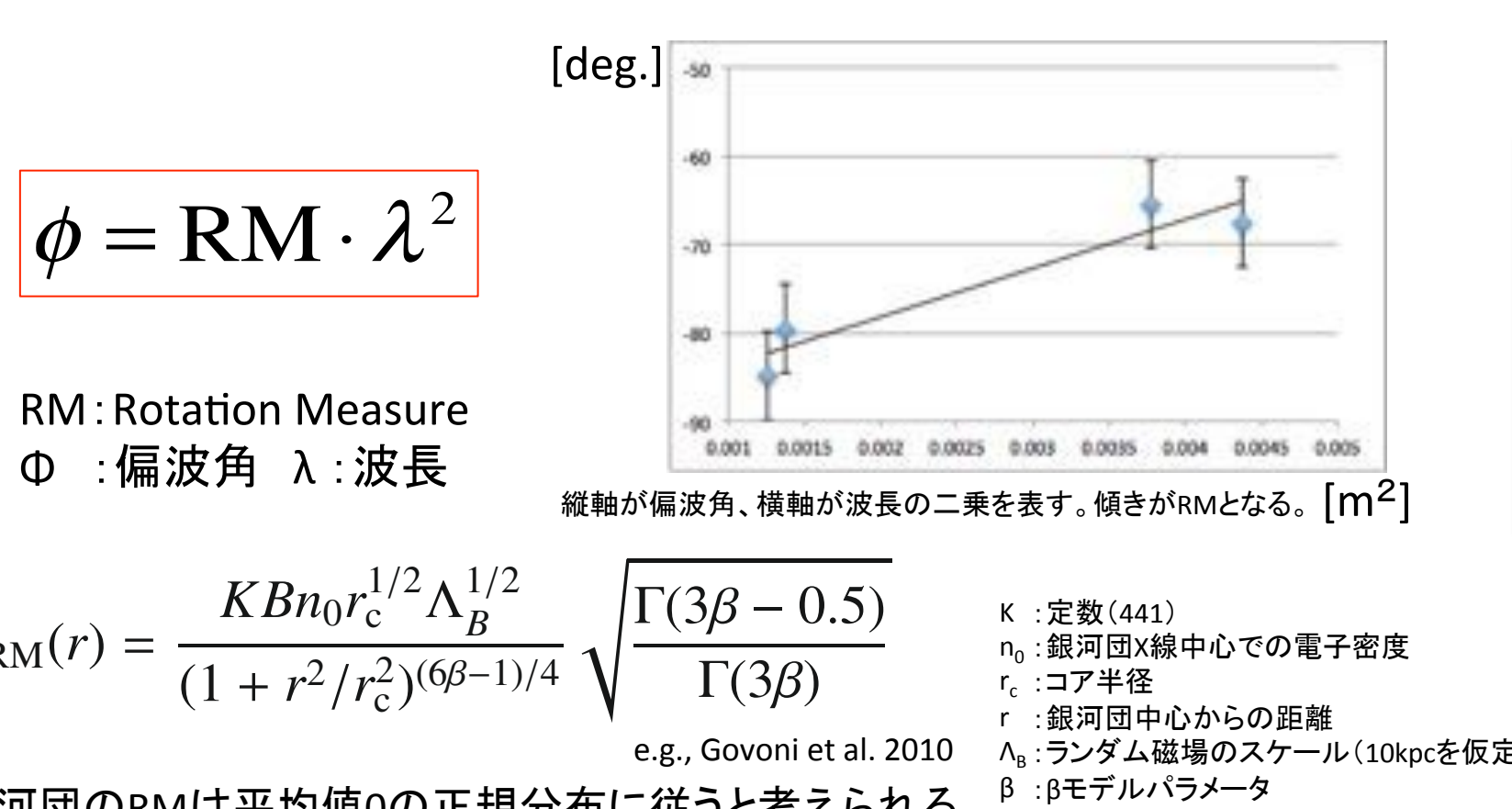


Irregular and Regular → X線表面輝度分布の対称性で分類(e.g., Akahori & Masai 2005)
Cool-Core → 銀河団中心で強いX線のピークと温度の急激な減衰がある

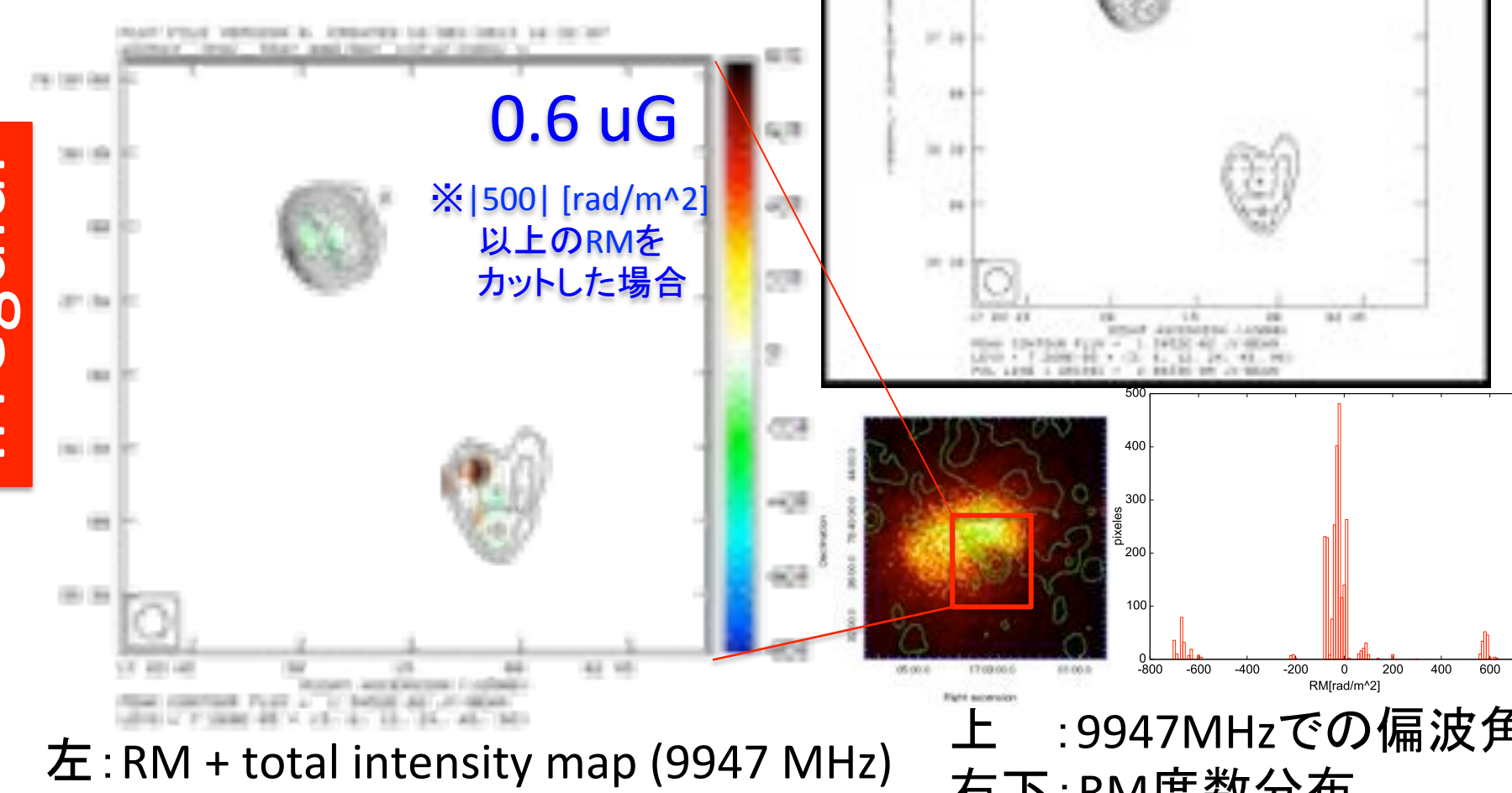
カラー : RASS 0.1~2.4 keV
コントラスト: NVSS 1.4 GHz

乱流による磁場の増幅があるならば	X線形態	Irregular	Regular	Cool-Core	となる?
	乱流の状態	driving	cascade	decay	
	磁場強度	weak	strong	rather strong	

3. Faraday Rotation Measure



A2256



左: RM + total intensity map (9947 MHz)

4結果

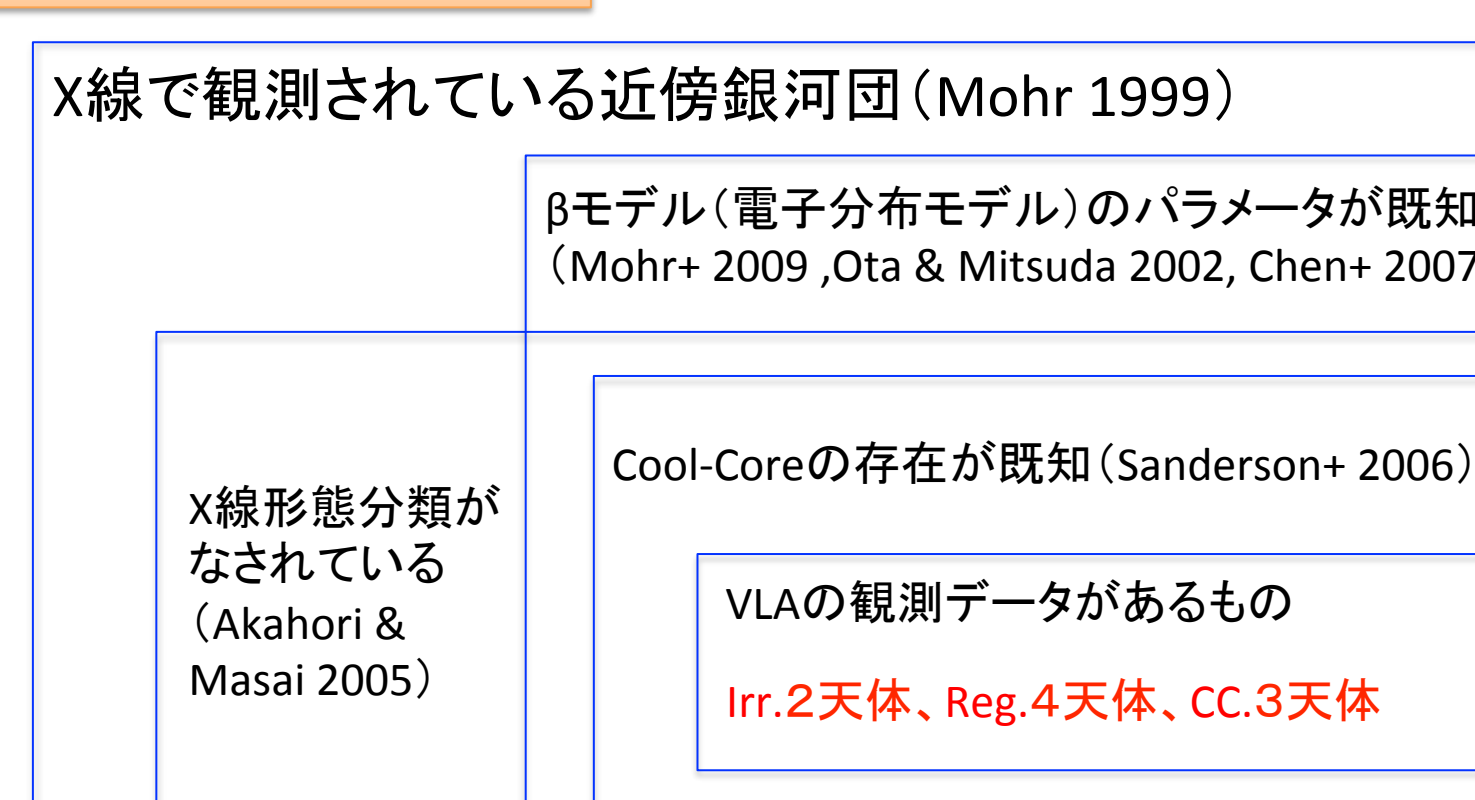
Source	R.A.	Dec.	Distance from the X-ray center [kpc]	Frequency [MHz]	Configuration	Beam ["]	β	r_c [kpc]	n_0 [cm^{-3}]	$\langle \text{RM} \rangle$ [rad/m^2]	σ_{RM} [rad/m^2]	B [μG]
A2256	17 03 31	+78 37 44	197	1.19	2051/3947 8051/9947	C C	13.0 x 13.0	0.83	500	3.0 E-03	-30	44 4.5
A401A	02 58 32	+13 34 12	625	1.51	4885/4535 8085/4665	B,C B,C	3.0 x 3.0	0.61	246	5.9 E-03	140	30 4.2
A401B	02 59 15	+13 27 36	730	1.51	4885/4535	B,C	3.0 x 3.0	0.61	246	5.9 E-03	124	67 2.4
A2142	15 58 13	+27 16 26	270	1.86	4885/4535 8085/4665	B C	3.0 x 3.0	0.59	114	1.9 E-02	-339	438 5.3
A2199	16 28 39	+39 32 52	26	0.62	4558/6447 8058/9940	C C	4.5 x 4.5	0.66	139	8.3 E-03	101	607 4.8

RMは周波数が最も高いマップでstokes Iがrms 3σ以上の領域且つ、偏波角の誤差が±15°以内且つ、RMの誤差が60 [rad/m^2]以内の領域のみを表示している。

各偏波源は銀河団中央断面に位置していると仮定した

Λ_b はGovoni et al. 2010より10 [kpc]を仮定した

4. 調査対象



Irregular

A2256

左: RM + total intensity map (9947 MHz)

上: 9947MHzでの偏波角

右下: RM度数分布

Regular

A401A

左: RM + total intensity map (8465 MHz)

上: 8465MHzでの偏波角

右下: RM度数分布

Cool-Core

A401B

左: RM + total intensity map (8465 MHz)

上: 8465MHzでの偏波角

右下: RM度数分布

Irregular

A2142

左: RM + total intensity map (8465 MHz)

上: 8465MHzでの偏波角

右下: RM度数分布

Regular

A2199

左: RM + total intensity map (9940 MHz)

上: 9940MHzでの偏波角

右下: RM度数分布

A401A

A401B

左: RM + total intensity map (8465 MHz)

上: 8465MHzでの偏波角

右下: RM度数分布

Cool-Core

A2199

左: RM + total intensity map (9940 MHz)

上: 9940MHzでの偏波角

右下: RM度数分布

磁場強度 Irregular 0.6 uG (or 4.5 uG) < Regular 4.0±1.5 uG < Cool-Core 4.8 uG

4結論 各銀河団で2~5uGの磁場強度を得ることができた。Irregular Cluster A2256に関しては正規分布から外れているRMを除外することによって0.6 uGの値を得た。A2256において500 rad/m^2以上のRMが妥当な値なのかどうかは、EVLAの多周波の観測データからRMを求めRMの決定精度を上げることで判断することができる。RegularとCool-Coreでは磁場強度に大きな差は見られなかった。従ってIrregularからRegularで磁場が進化しているような気もするが、わずか5偏波源しか磁場強度を出してないのでまだ統計的に議論することはできない。しかし調査対象の銀河団全てを解析しても9銀河団しかなく、銀河団のRMを用いた磁場研究においては多周波、高感度での観測が必須となる。